



TI910-3, Fig. B1W-: motivo floreale, 14 prova colori CIE i 2 + 16 grigio passi (nf); PS 3 colorimage

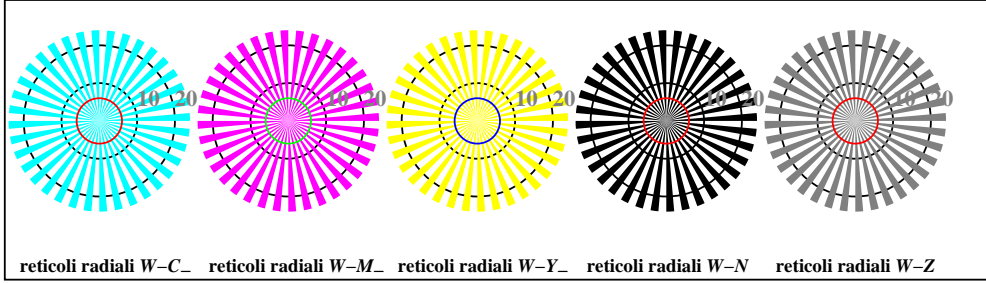
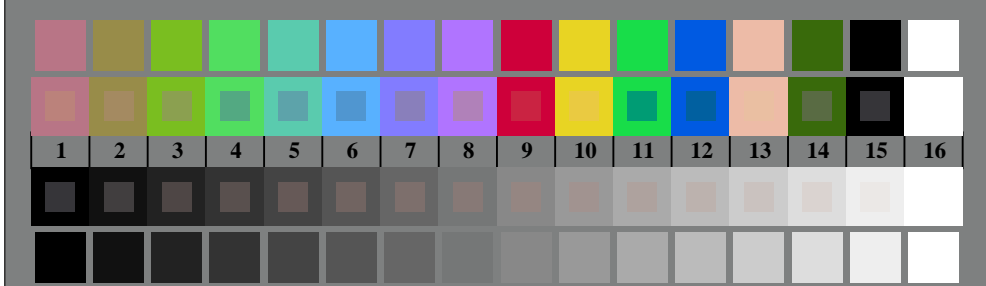
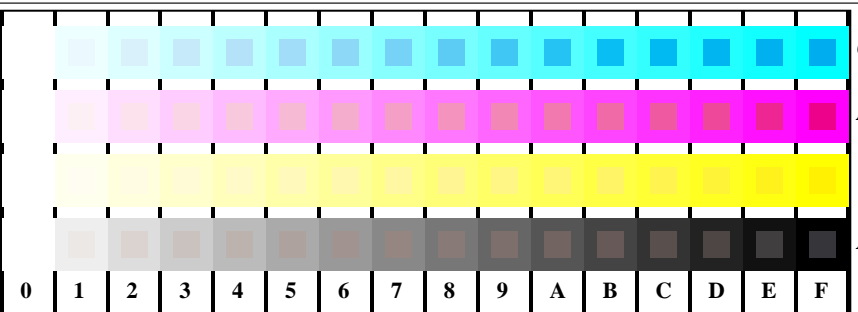
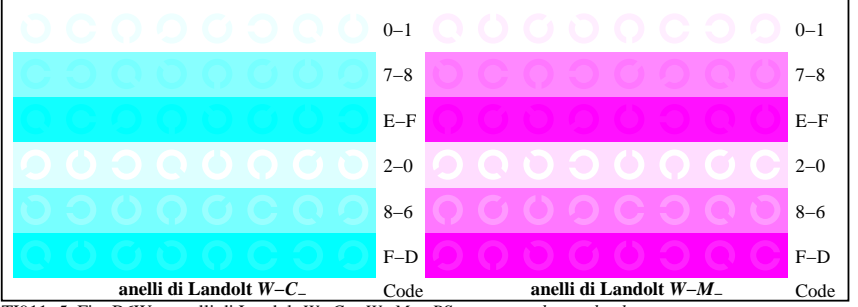
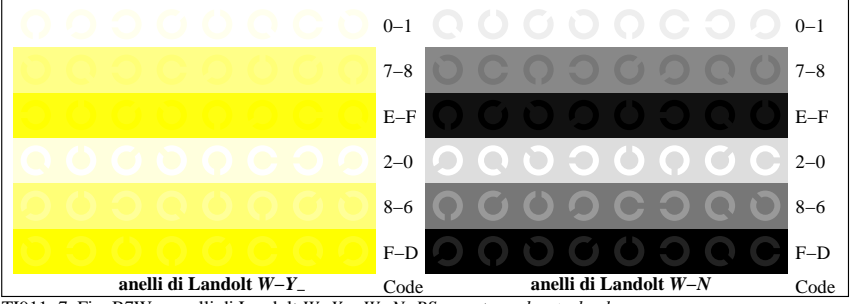
TI910-5, Fig. B2W-: reticolli radiali W-C_ ; W-M_ ; W-Y_ ; W-N; PS operator $rgb \rightarrow rgb_setrgbcolor$ TI910-7, Fig. B3W-: 14 prova colori CIE i 2 + 16 grigio passi (sf); $rgb/cmky0$ set($rgb/cmkyk$).color

Grafico TUB-TI91; 2(ISO/IEC 15775 & ISO/IEC TR 24705)
Tavola dei colori cromatici CMYK

TI911-1, Fig. B4W-: 16 equidistante passi W-C_ ; W-M_ ; W-Y_ ; W-N; $rgb/cmky0$ set($rgb/cmkyk$).color

+-.:	lmno	lmno	lmno														
xyz;	hijk	hijk	hijk														
tuvw	defg	defg	defg														
pqrs	!abc	!abc	!abc														
lmno	xyz;	xyz;	xyz;														
hijk	tuvw	tuvw	tuvw														
defg	defg																
!abc	pqrs	pqrs	pqrs														
10	10	10	10	10	10	10	10	10	10	10	10	10	10	10	10	10	10
N	C_M_Y_Z																

tuvw
pqrs
lmno
hijk
+-.:
!abc
xyz;
defg
4
N C_M_Y_ZTI911-3, Fig. B5W-: codice i Landolt anelli N; C_ ; M_ ; Y_ ; Z; PS operator $rgb \rightarrow rgb_setrgbcolor$ TI911-5, Fig. B6W-: anelli di Landolt W-C_ ; W-M_ ; PS operator $rgb\ setrgbcolor$ TI911-7, Fig. B7W-: anelli di Landolt W-Y_ ; W-N; PS operator $rgb\ setrgbcolor$

Input: $rgb/cmky$ \rightarrow $w/rgb/cmky$
Output: nessun cambiamento